

Přednáška #5: **Vnořování a simulace propojovacích sítí**

Vnořovací problém

Statický vnořovací problém: (embedding problem)

- // algoritmus = množina procesů posílajících si zprávy.
- Známe velikost a strukturu grafu procesů.
- Máme počítač s distribuovanou pamětí se známou topologií propojovací sítě (PS).
- Jak mapovat graf procesů na tento stroj, aby výpočet byl co nejefektivnější?

Dynamický vnořovací problém:

- // algoritmus = množina procesů posílajících si zprávy.
- Procesy dynamicky vznikají a zanikají, neznáme velikost ani strukturu grafu procesů, pouze máme nějaké částečné informace (např. max. # potomků jednoho rodiče).
- Máme počítač s distribuovanou pamětí se známou topologií PS.
- Jak distribuovat dynamicky vznikající procesy mezi procesory tak, aby výpočet byl co nejefektivnější?
- Alternativní přístupy: dynamické **vyvažování zátěže** nebo **migrace procesů**.

Vnoření (embedding) $G \xrightarrow{\text{emb}} H$

Vnoření zdrojového grafu $G = (V(G), E(G))$ do **cílové** sítě $H = (V(H), E(H))$
= **dvojice** zobrazení (φ, ξ) , kde

$$\varphi : V(G) \rightarrow V(H) \quad \text{a} \quad \xi : E(G) \rightarrow \mathcal{P}(H)$$

($\mathcal{P}(H)$ = množina všech **cest** sítě H .)

Zatížení

(Zatížení cílových uzlů zdrojovými.)

- **Zatížení** cílového uzlu $v \in V(H)$: $\text{load}(v) = |\{u \in V(G); \varphi(u) = v\}|$.
- **Zatížení** vnoření (φ, ξ) : $\text{load}(\varphi, \xi) = \max_{v \in V(H)} \text{load}(v)$.
- **Průměrné zatížení** vnoření (φ, ξ) : $\overline{\text{load}}(\varphi, \xi) = \frac{1}{|V(H)|} \sum_{v \in V(H)} \text{load}(v)$.
- Vnoření (φ, ξ) má **stejnoméřné zatížení**, pokud $\text{load}(\varphi, \xi) = \lceil \overline{\text{load}}(\varphi, \xi) \rceil$.

(Poměr velikosti cílové sítě (= # uzlů) a zdrojového grafu (= # procesů).)

$$\text{vexp}(\varphi, \xi) = \frac{|V(H)|}{|V(G)|}.$$

Dilatace

(Protažení zdrojových hran v cílové síti.)

- **Dilatace** zdrojové hrany $e \in E(G)$: $\text{dil}(e) = \text{len}(\xi(e))$.
- **Dilatace** vnoření (φ, ξ) : $\text{dil}(\varphi, \xi) = \max_{e \in E(G)} \text{dil}(e)$.
- **Průměrná dilatace** vnoření (φ, ξ) : $\overline{\text{dil}}(\varphi, \xi) = \frac{1}{|E(G)|} \sum_{e \in E(G)} \text{dil}(e)$.
- Vnoření (φ, ξ) má **stejnoměrnou dilataci**, pokud $\text{dil}(\varphi, \xi) = \lceil \overline{\text{dil}}(\varphi, \xi) \rceil$.

Výrok 1. Pokud $G \xrightarrow{\text{emb}} H$ má $\text{dil} = \text{load} = 1$, pak $G \subset H$.
Pokud také $\text{vexp} = 1$, pak $G = \text{kostra } H$.

- **Poznámka:** Statická vnoření nemohou postihnout **dynamické chování** aplikace na cílové síti, např. velká dilatace nevadí, pokud je odpovídající cesta používána zřídka.

(Komunikační zatížení cílových uzlů/linek.)

- **Linkové zahlcení** cílové linky $e_2 \in E(H)$: $\text{ecng}(e_2) = |\{e_1 \in E(G); e_2 \subseteq \xi(e_1)\}|$.
- **Linkové zahlcení** vnoření (φ, ξ) : $\text{ecng}(\varphi, \xi) = \max_{e_2 \in E(H)} \text{ecng}(e_2)$. (maximální # obrazů zdrojových hran procházejících skrz cílové linky)
- **Uzlové zahlcení** cílového uzlu $u_2 \in V(H)$: $\text{ncng}(u_2) = |\{e_1 \in E(G); u_2 \in \xi(e_1)\}|$.
- Podobně: $\text{ncng}(\varphi, \xi)$, $\overline{\text{ecng}}(\varphi, \xi)$, $\overline{\text{ncng}}(\varphi, \xi)$, a **stejnoměrná zahlcení**.

Quasiisometrické a výpočetně ekvivalentní sítě

- G a H jsou **quasiisometrické**, pokud existují vnoření $G \xrightarrow{\text{emb}} H$ i $H \xrightarrow{\text{emb}} G$ s konstantními hodnotami měřítek vnoření.
- H **simuluje** G se **zpomalením** h ,
jestliže jeden krok výpočtu na G může být simulován v $O(h)$ krocích na H .
- G a H jsou **výpočetně ekvivalentní sítě**, pokud G dokáže simulovat H s konstantním zpomalením a naopak.

Výrok 2. *Quasiisometrické sítě \implies výpočetně ekvivalentní, ale ne naopak.*

Zatížení vs. expanze

Výrok 3.

$$\text{load}(\varphi, \xi) \geq \max \left(1, \left\lceil \frac{1}{\text{vexp}(\varphi, \xi)} \right\rceil \right).$$

Průměrový argument

Věta 4. Jestliže $|V(G)| = |V(H)|$ a $\text{load}(\varphi, \xi) = 1$, pak

$$\text{dil}(\varphi, \xi) \geq \lceil \text{diam}(H) / \text{diam}(G) \rceil.$$

Důkaz. Stejnoměrná dilatace cesty délky $\text{diam}(G)$ mezi 2 uzly ve vzdál. $\text{diam}(H)$.



Dilatace vs. zahlcení

Věta 5. Jestliže $k = \overline{\text{dil}}(\varphi, \xi)$, pak

$$\text{ecng}(\varphi, \xi) \geq \left\lceil \frac{k|E(G)|}{|E(H)|} \right\rceil.$$

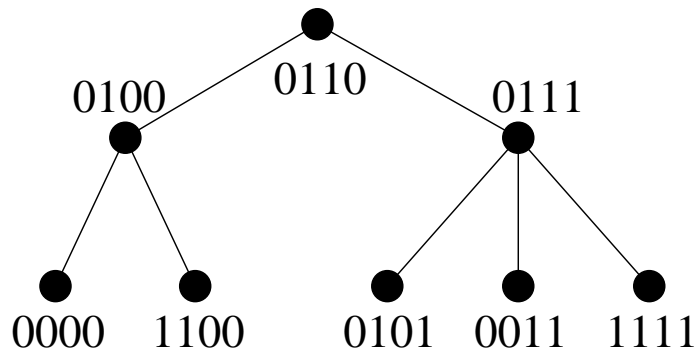
Důkaz. Čítáním obrazů hran G v H za předpokladu stejnoměrného zahlcení hran.

Hyperkrychle simuluje optimálně téměř každou známou propojovací topologii.

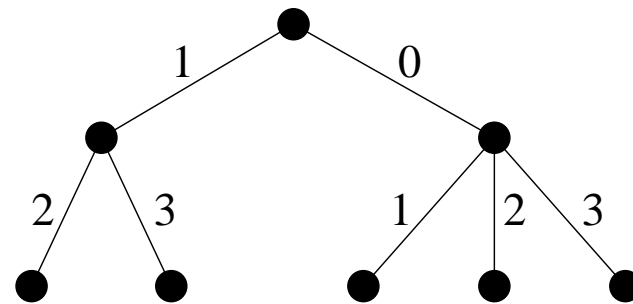
Díky **symetrii** Q_n může být vnoření $G \xrightarrow{\text{emb}} Q_n$ popsáno pomocí

- **značení uzlů**: ohodnocení uzlů ve $V(G)$ n -bitovými binárními adresami, nebo
- **značení hran**: ohodnocení hran v $E(G)$ čísly dimenzí $0, 1, \dots, n - 1$.

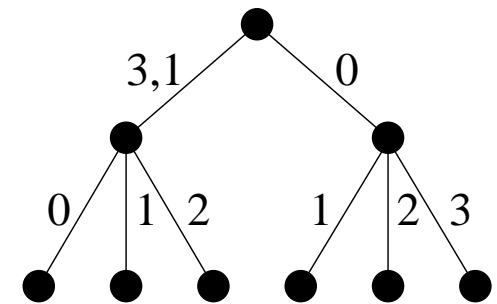
Definice 6. Q_n je optimální hyperkrychle pro $G \xrightarrow{\text{emb}} Q_n$ s $\text{load} = 1 \iff n = \lceil \log |V(G)| \rceil$.



(a) Značení uzlů stromu vnořeného do Q_4 a $\text{dil} = 1$ a $\text{load} = 1$.



(b) Značení hran při téměř vnoření.



(c) Značení hran jiného stromu vnořeného s $\text{load} = 1$ a $\text{dil} = 2$.

Lemma 7. *Nechť*

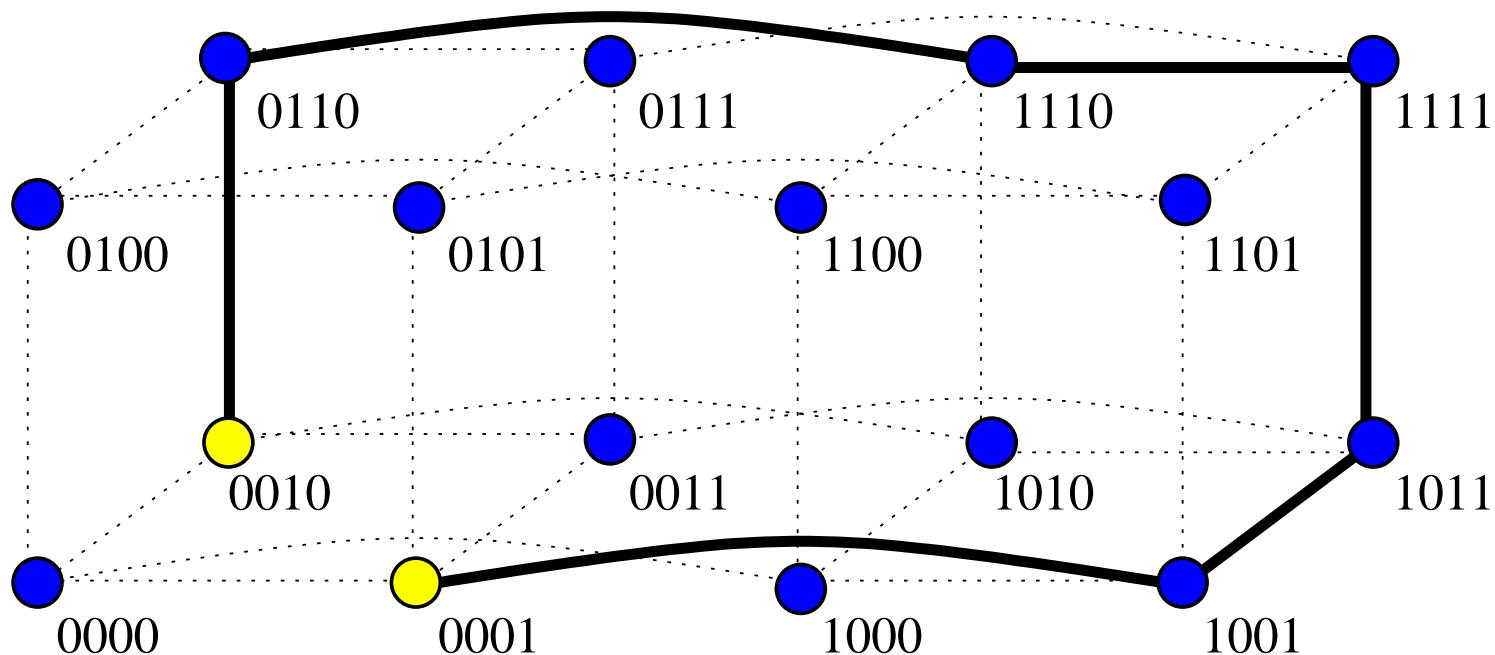
- $u, v \in V(Q_n)$ v Hammingově vzdálenosti $\varrho(u, v)$,
- $\delta(u, v)$ = množina dimenzí, v kterých se u a v liší,
- $P(u, v)$ = cesta délky m v Q_n ,
- $\mathcal{P} = [p_0, p_1, \dots, p_{n-1}]$ = n -tice popisující hranové značení $P(u, v)$, kde
 $p_j = \#$ hran cesty $P(u, v)$, které leží v dimenzi j .

Pak platí:

- $\sum_{j=0}^{n-1} p_j = m$,
- $|\delta(u, v)| = \varrho(u, v)$,
- každá dimenze z $\delta(u, v)$ se objeví v \mathcal{P} **lichý-počet** krát a každá z $n - \varrho(u, v)$ zbývajících dimenzí se objeví v \mathcal{P} **sudý-počet** krát,
- $m = \varrho(u, v) \pmod{2}$,
- *jestliže* $u = v$, *pak* m *je sudé* (\implies *neexistují kružnice s lichou délkou*),
- *jestliže* $P(u, v)$ *je hamiltonovská cesta* v Q_n , *pak* $\varrho(u, v)$ *je lichá*.

Důkaz. Plyne ze dvou elementárních faktů:

1. Přejchod hyperkubické hrany = negace příslušného bitu.
2. Dvojitá negace je identita: $\overline{\overline{x_i}} = x_i$.

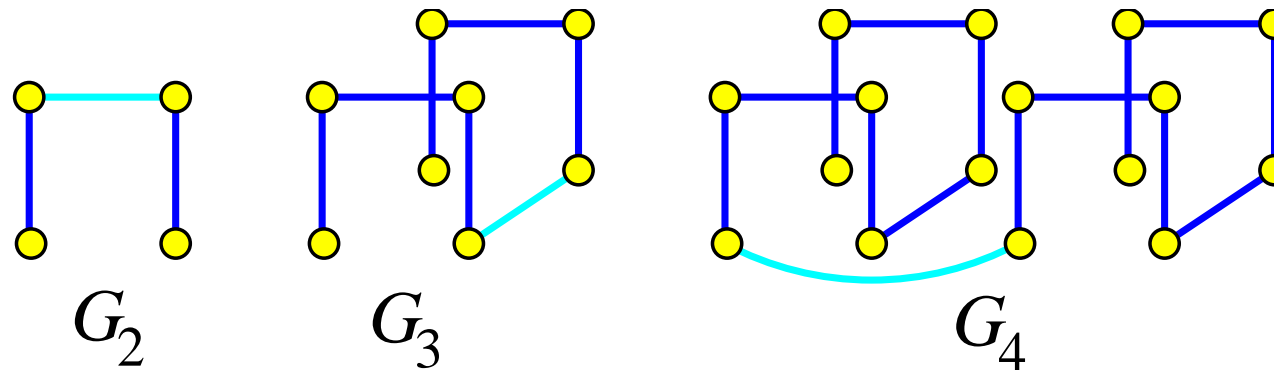


■ $u = 0001, v = 0010 \implies \varrho(u, v) = 2$

■ $\delta(u, v) = \{0, 1\}$ a $m = 6$

■ $\mathcal{P} = \{1, 1, 2, 2\}$

- **Grayova posloupnost** = uzlové značení cesty v Q_n .
- **n -bitový Grayův kód** = uzlové značení hamiltonovské cesty/kružnice v Q_n .
- \exists mnoho různých Grayových kódů.
- Základní a nejpřirozenější je **Binární zrcadlový Grayův kód (BRGC)** G_n
 1. $G_1 = \{0, 1\}$,
 2. $G_n = \{0G_{n-1}, 1G_{n-1}^R\}$, kde
 - $0G_i$ ($1G_i$) = každý prvek G_i dostane 1-bitovou předponu 0 (1),
 - G_i^R = zrcadlově otočená posloupnost G_i .



Věta 8. BRGC zakódování binárního čísla $b = b_{n-1} \dots b_0$ je $G_n(b) = g_{n-1} \dots g_0$, kde

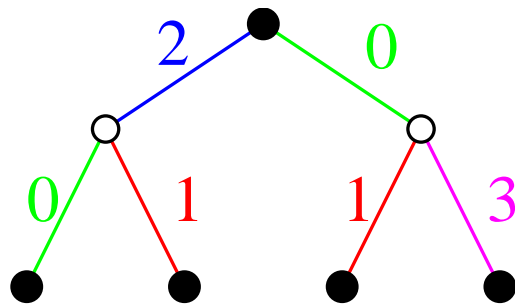
1. $g_{n-1} = b_{n-1}$,
2. $g_i = b_{i+1} \text{ XOR } b_i$ pro $i = n-2, \dots, 0$.



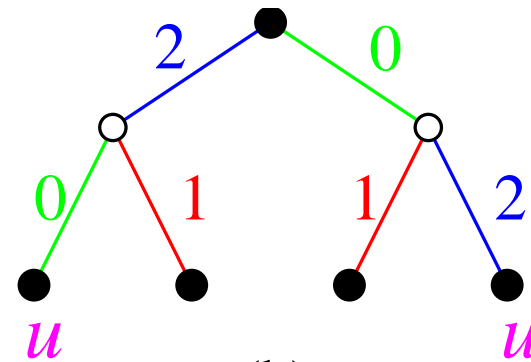
Úplné binární stromy (CBT)

- $CBT_n \not\subset Q_{n+1}$, i když $|V(CBT_n)| < |V(Q_{n+1})|$
(nepoměr v počtu černých a bílých uzlů ve 2-barvení).
- $CBT_n \subset Q_{n+2}$ (obecný důkaz je netriviální) - malý příklad je na obr. (a).
- $CBT_n \rightarrow Q_{n+1}$ s $dil = 1$ a $load = 2$ - malý příklad je na obr. (b). Pak

$2^{n-2} + 2^{n-4} + \dots$ uzlů hyperkrychle bude mít $load = 2$ a
 $2^{n-1} - 2^{n-3} + \dots$ uzlů hyperkrychle bude mít $load = 0$.



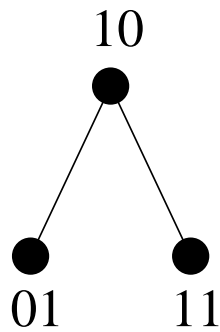
(a)



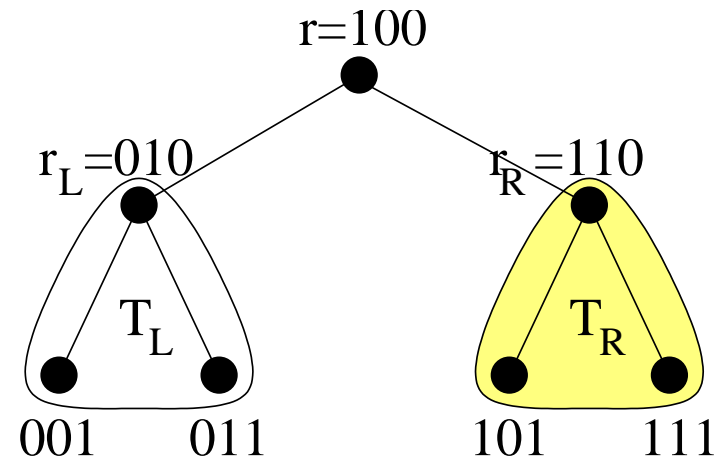
(b)

- $CBT_n \xrightarrow{\text{emb}} Q_{n+1}$ s $\text{dil} = 2$ a $\text{load} = 1$ a $\text{ecng} = 2$:

Inorder číslování počínaje číslem 1 indukují takové vnoření.



(a) Indukční základ.



(b) Indukční krok.

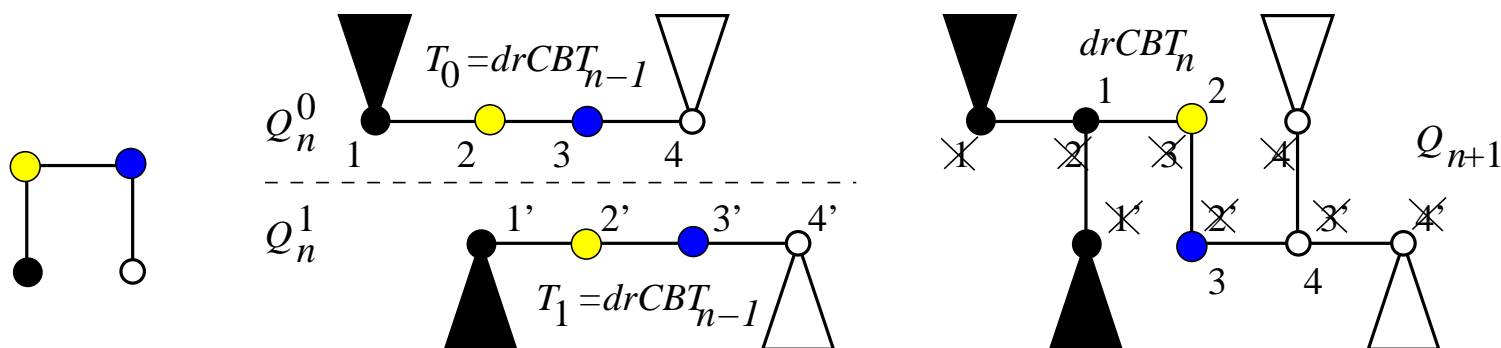
- Nejlepší a krásně rekurzivní vnoření $CBT_n \xrightarrow{\text{emb}} Q_{n+1}$ s $\boxed{\text{dil} = 2 \text{ a } \text{load} = \text{ecng} = 1}$.

Trik: přeměň CBT_n na **vyvážený** bipartitní graf $drCBT_n$ s 2^{n+1} uzly

zdvojením kořenu.

Potom

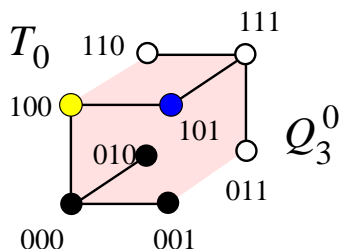
$drCBT_n$ je faktorem Q_{n+1} .



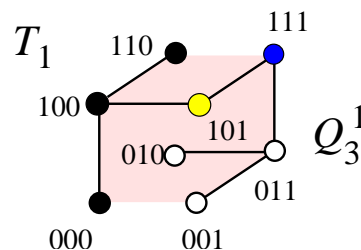
(a) Indukční základ.

(b) Indukční hypotéza v Q_n^0 a automorfismus v opačné Q_n^1 .

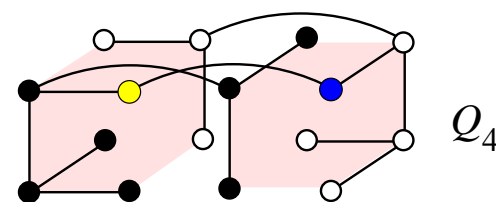
(c) Indukční krok.



(a) $T_0 \xrightarrow{\text{emb}} Q_3^0$.



(b) $T_1 \equiv T_0 \xrightarrow{\text{emb}} Q_3^1$.



(c) Indukční krok.

- ```

if ($\text{fb}(x) = 0$) then umístí levého syna (pokud existuje) do svého uzlu $\varphi(x)$;
 umístí pravého syna (pokud existuje) do uzlu $\varphi(x) \text{ XOR } t(x)$;
else umístí levého syna (pokud existuje) do uzlu $\varphi(x) \text{ XOR } t(x)$;
 umístí pravého syna (pokud existuje) do svého uzlu $\varphi(x)$.

```

**Jednovlnový  $n$ -úrovňový D&C výpočet:**

1. Kořen rozdělí problém do dvou polovin, které předá svým dvěma potomkům.
2. Potomci provedou rekurzivně totéž.
3. Na úrovni  $n$  jsou podproblémy vyřešeny listovými procesy.
4. Výsledky jsou rekurzivně předány zpět kořenu.
5. Nová vlna může začít, až se předchozí vlna vrátí do kořene.

**Vícevlňový  $n$ -úrovňový D&C výpočet:**

- Jednotlivé vlny, popsané výše, procházejí stromem po úrovních za sebou.

**D&C na hyperkrychli****Vícevlňový D&C:**

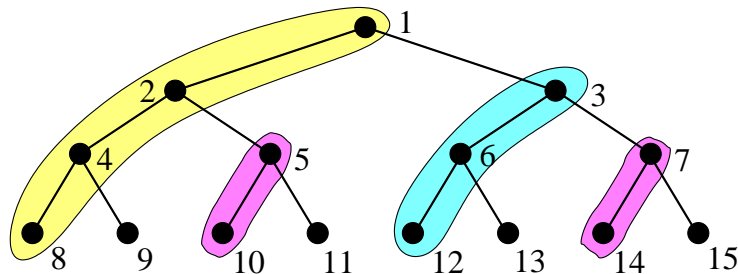
Standardní vnoření  $CBT_n$  do  $Q_{n+1}$  s  $\text{load} = 1$  a  $\text{dil} = 2$  je optimální.

**Jednovlnový D&C:**

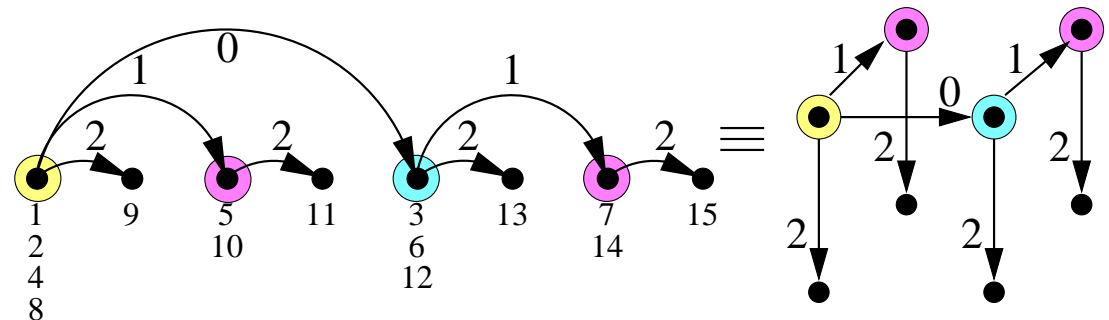
Standardní vnoření  $CBT_n$  do  $Q_{n+1}$  s  $\text{load} = 1$  **plýtvá** 50% uzlů.

Založeno na **binomiální kostře** hyperkrychle.

1. Kořen rozdělí problém (vstupní data) do dvou polovin.
2. Předá polovinu svému sousedu v dimenzi 0 a nechá si druhou polovinu.
3. Oba tyto uzly jsou aktivní a udělají totéž s použitím dimenze 1.
4. To se opakuje pro dimenze  $2, \dots, n$ .
5. **Všechny** uzly  $Q_n$  se stanou listy  $CBT_n$  a spočítají listové podproblémy.
6. Výsledky jsou sbírány v opačném pořadí zpět do kořenu.



(a) Uzlové zatížení.



(b) Komunikační strom.

Implementace 3-úrovňového jednovlnového D&C výpočtu na  $Q_3$ .

**Věta 10.** *Nechť  $k > 1$  a  $z_1, \dots, z_k$ ,  $z_i \geq 2$ , jsou přirozená čísla. Nechť  $n_i = \lceil \log z_i \rceil$  pro všechny  $i$  a  $n = n_1 + n_2 + \dots + n_k$ . Pak*

- $M(z_1, z_2, \dots, z_k) \subseteq Q_n$ .
- $K(z_1, z_2, \dots, z_k) \subseteq Q_n$ , jsou-li všechny  $z_i$  sudé.
- $K(z_1, z_2, \dots, z_k) \xrightarrow{\text{emb}} Q_n$  s  $\text{load} = 1$  a  $\text{dil} = 2$ , je-li některé  $z_i$  liché.
- $Q_n$  je **optimální** hyperkrychle pro všechna tato vnoření, pokud

$$\lceil \log z_1 \rceil + \dots + \lceil \log z_k \rceil = \lceil \log(z_1 \dots z_k) \rceil.$$

**Důkaz.**

1. Vnoř každou 1-D  $M(z_i)$  nebo  $K(z_i)$  do  $Q_{n_i}$  pomocí Grayova kódování  $G_{n_i}$ .
2. Aplikuj na tato dílčí vnoření kartézský součin.

Nechť  $[x_1, \dots, x_k] \in V(M(z_1, z_2, \dots, z_k))$ , kde  $0 \leq x_i \leq z_i - 1$ . Pak

$$\varphi([x_1, \dots, x_k]) = G_{n_1}(\text{bin}_{n_1}(x_1)) \circ G_{n_2}(\text{bin}_{n_2}(x_2)) \circ \dots \circ G_{n_k}(\text{bin}_{n_k}(x_k)),$$

kde  $\text{bin}_m(x)$  =  $m$ -bitová reprezentace čísla  $x < 2^m$  a

$\circ$  = zřetězení.





- 

- Podobně: nejlepší algoritmus pro **3-D mřížky** dává vnoření s  $\text{dil} = 5$ .

**Věta 11.** *Nechť  $n \geq 2$ .*

1. *Optimální hyperkrychle pro vnoření  $CCC_n$  nebo  $wBF_n$  s  $\text{load} = 1$  je  $Q_{n+\lceil \log n \rceil}$ . Podobně,  $Q_{n+\lceil \log(n+1) \rceil}$  je optimální pro  $oBF_n$ .*
2. *Je-li  $n$  sudé, pak  $CCC_n \subset Q_{n+\lceil \log n \rceil}$ .*
3. *Je-li  $n$  liché, pak  $CCC_n \xrightarrow{\text{emb}} Q_{n+\lceil \log n \rceil}$  s  $\text{dil} = 2$  a  $\text{load} = 1$ .*
4.  *$wBF_n \xrightarrow{\text{emb}} Q_{n+\lceil \log n \rceil}$  s  $\text{dil} = O(1)$  a  $\text{ecng} = O(1)$ .*
5.  *$oBF_n \subset Q_{n+\lceil \log(n+1) \rceil}$ .*

**Důkaz.** (Opět metodou kartézské dekompozice.)

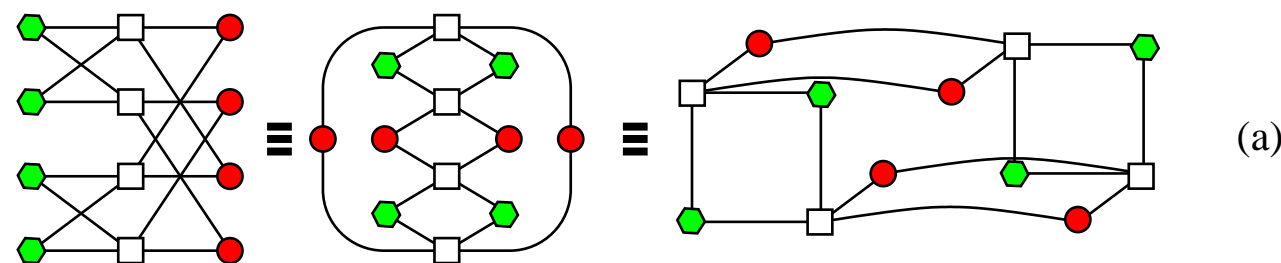
ad (1):  $|V(CCC_n)| = |V(wBF_n)| = n2^n$  a  $|V(oBF_n)| = (n+1)2^n$ .

ad (2):  $CCC_n \subset Q_n \times K(n) \subset Q_n \times Q_{\lceil \log n \rceil} = Q_{n+\lceil \log n \rceil}$ .

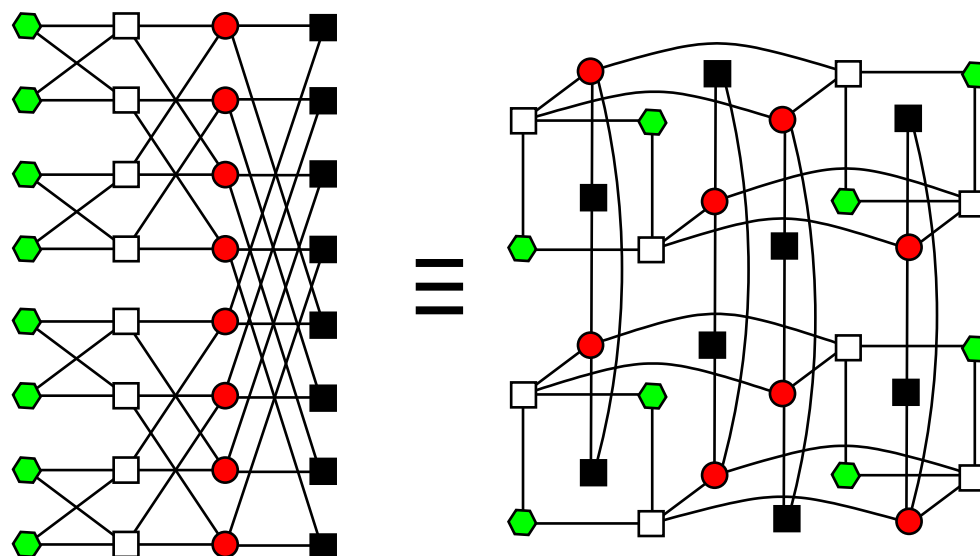
ad (3): Je-li  $n$  liché, pak  $K(n) \xrightarrow{\text{emb}} Q_{\lceil \log n \rceil}$  s  $\text{dil} = 2$ .

ad (4): Plyne z Věty 22.

ad (5): Jak  $oBF_n$  tak  $Q_{n+\lceil \log(n+1) \rceil}$  jsou rekurzivní.



(a)



(b)

(a)  $oBF_2 \subset Q_4$ . (b)  $oBF_3 \subset Q_5$ : příklad indukčního kroku.

### Vnoření ostatních grafů

- Je-li dán graf  $G$  a celá čísla  $k$  a  $n$ , pak problém existence vnoření  $G$  do  $Q_n$  s dilatací  $k$  je

**NP-úplný.**

- Velmi důležité v praxi, např. návrhování VLSI obvodů.
- Je-li dán graf  $G$ , celá čísla  $k$  a  $n$ , problém existence vnoření  $G$  do  $n$ -rozměrné mřížky s  $\text{dil} \leq k$  je **NP-úplný**.  
Toto platí dokonce pro  $k = 1$ ,  $n = 2$  a  $G =$  binární strom.

## Vnoření mezi stejnými mřížkami a toroidy

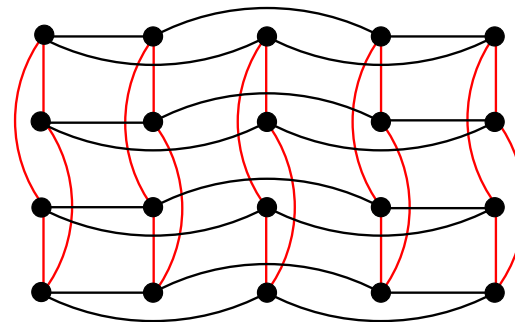
**Věta 12.** *Mřížky a toroidy jsou quaziizometrické  $\implies$  výpočetně ekvivalentní!!!*

**Důkaz.** Nechť  $M = M(z_1, \dots, z_n)$  a  $K = K(z_1, \dots, z_n)$ .

1.  $M \subset K \implies K$  simuluje  $M$  bez zpomalení.
2. Existuje  $K \xrightarrow{\text{emb}} M$  s  $\text{load} = 1$  a  $\text{dil} = \text{ecng} = 2$ : opět metoda kartézské dekompozice.
  - (a) Dekomponuj  $M = M(z_1) \times \dots \times M(z_n)$  a  $K = K(z_1) \times \dots \times K(z_n)$ .
  - (b) Vnoř každý  $K(z_i) \xrightarrow{\text{emb}} M(z_i)$  s  $\text{load} = 1$  a  $\text{dil} = \text{ecng} = 2$ , viz. obr. (a).
  - (c) Použij kartézský součin, viz. obr. (b).

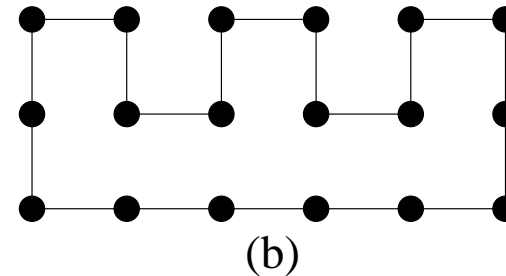
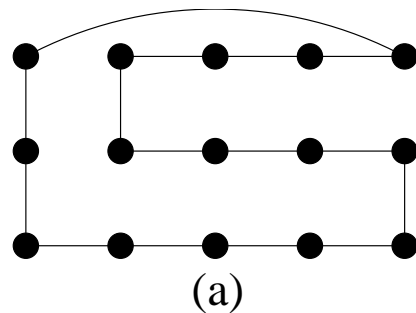


(a)  $K(5) \xrightarrow{\text{emb}} M(5)$ .

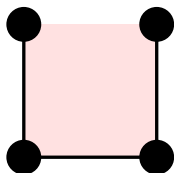


(b)  $K(4, 5) \xrightarrow{\text{emb}} M(4, 5)$ .

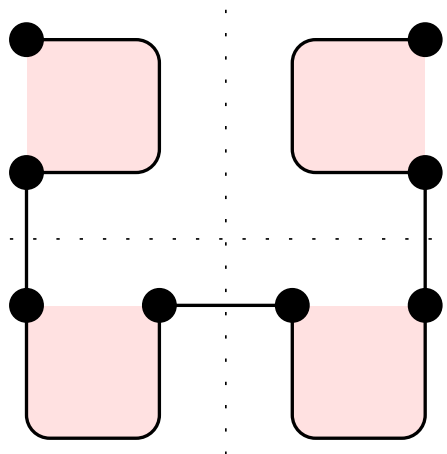
- Jakýkoli  $K(z_1, \dots, z_n)$  má hamiltonovskou kružnici (viz obr. (a)).
- Jakákoli  $M(z_1, \dots, z_n)$  má hamiltonovskou cestu.
- $M(z_1, \dots, z_n)$  má hamiltonovskou kružnici  $\iff$  nejméně jedno  $z_i$  je sudé (viz obr. (b)).



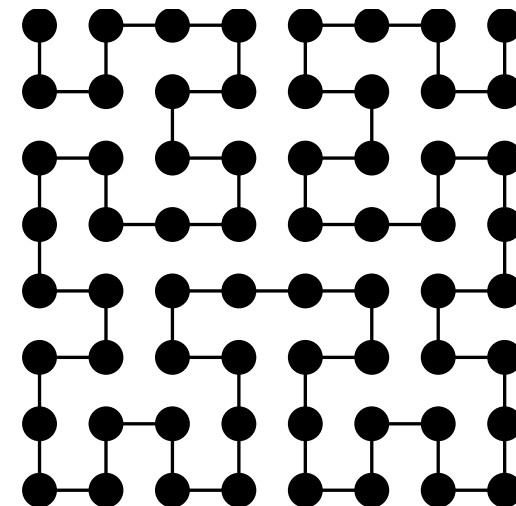
## Fraktálovité (rekurzivní) hamiltonské cesty v $M(2^k, 2^k)$



(a)  $M(2, 2)$ .



(b) Indukční krok.

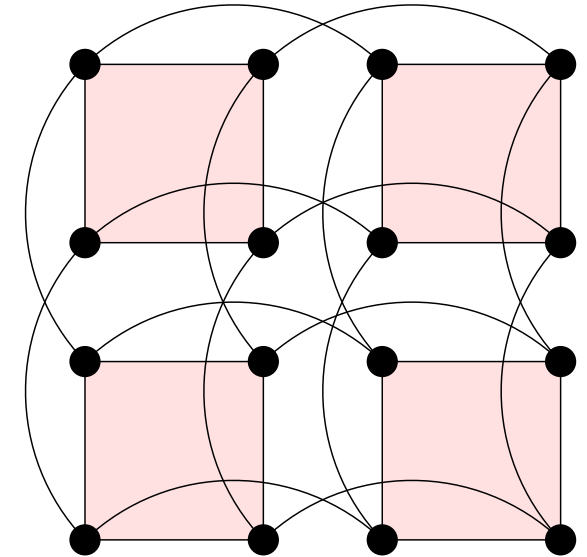
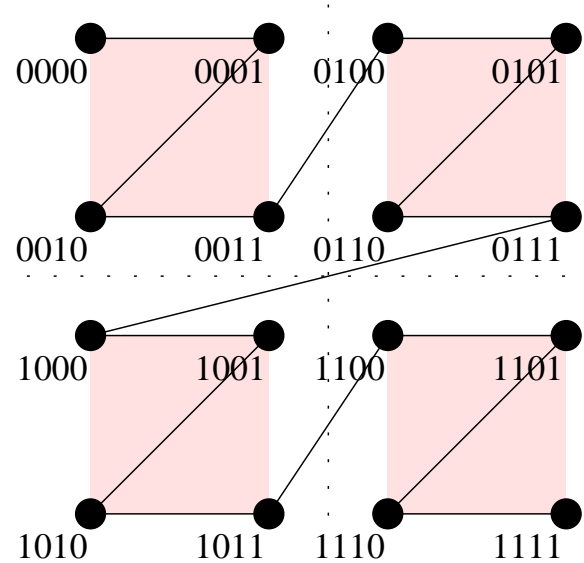
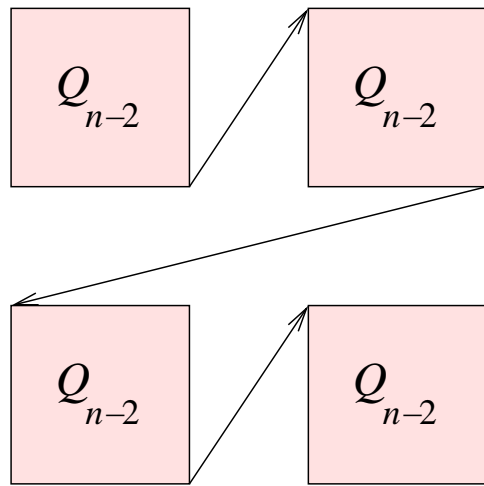


(c)  $M(2^3, 2^3)$ .

**Důsledek 13.** (věty 4) Spodní mez na dilataci vnoření  $Q_{2k} \xrightarrow{\text{emb}} M(2^k, 2^k)$  s  $\text{load} = 1$  je  $2^{k+1}/(2k) = 2^k/k$ .



**Peanova křivka:** spojuje uzly v lexikographickém pořadí při dělení střídavě podle osy  $x$  a  $y$ .



(a) Indukční krok. (b)  $\varphi$  vnoření  $Q_4 \xrightarrow{\text{emb}} M(4, 4)$ . (c)  $\xi$  vnoření  $Q_4 \xrightarrow{\text{emb}} M(4, 4)$ .

■ Manhattanská vzdálenost 2 uzlů lišících se v bitu  $i$ ,  $0 \leq i \leq n - 1$ , je

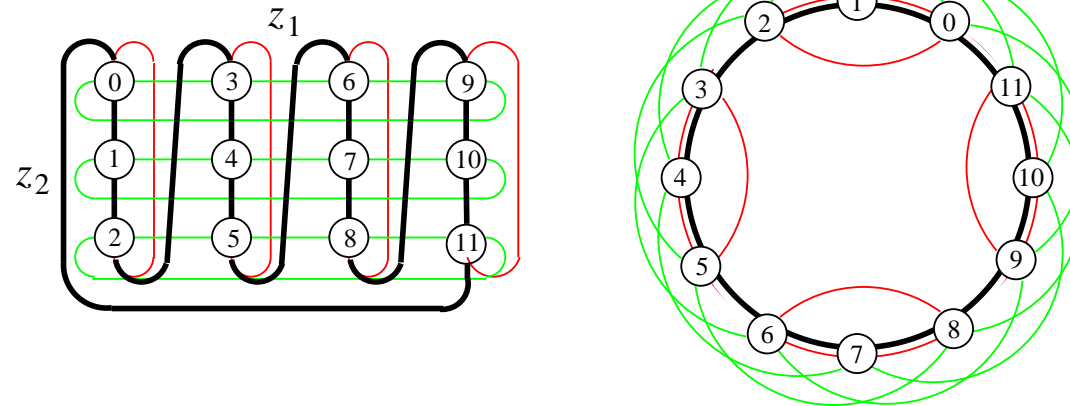
$$d(u, u \text{ XOR } 2^i) = 2^{\lfloor \frac{i}{2} \rfloor}.$$

$\implies$  dilatace vnoření  $Q_{2k} \xrightarrow{\text{emb}} M(2^k, 2^k)$  je  $2^{\lfloor \frac{2k-1}{2} \rfloor} = 2^{k-1}$ .

- **Obtížný** a **otevřený** problém pro obecné vícerozměrné kvádrové a krychlové toroidy.
- Řešení 1 speciálního případu:

**Věta 14.** Pro  $z_1 \neq z_2$ ,  $\exists$  optimální vnoření  $K(z_1, z_2) \xrightarrow{\text{emb}} K(z_1 z_2)$  s  $\text{load} = 1$ ,  $\text{dil} = \text{ecng} = \min(z_1, z_2)$ .

**Důkaz.** Lexikografické mapování uzlů **po řádcích**  $K(z_1, z_2)$ , jestliže  $z_1 \geq z_2$ , **po sloupcích** v opačném případě. ♣



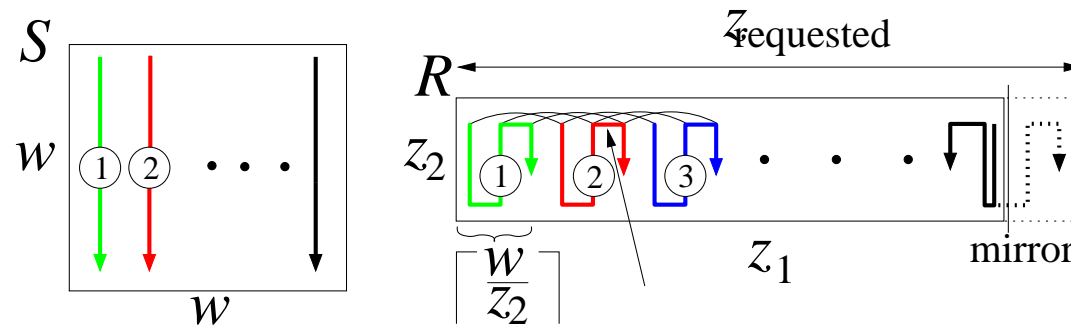
Vnoření  $K(3, 4) \xrightarrow{\text{emb}} K(12)$  s  $\text{dil} = 3 = \min(3, 4)$ , horizontální hrany  $K(3, 4)$  mají  $\text{dil} = 3$ , vertikální obalující hrany mají  $\text{dil} = 2$ .

- Poznámka: Je-li  $z_1 \geq z_2$ , pak spodní mez na dilataci  $K(z_1, z_2) \xrightarrow{\text{emb}} K(z_1 z_2)$  je

$$\frac{z_2}{2} \leq \frac{\text{diam}(K(z_1 z_2))}{\text{diam}(K(z_1, z_2))} = \frac{z_1 z_2}{z_1 + z_2} \leq z_2.$$

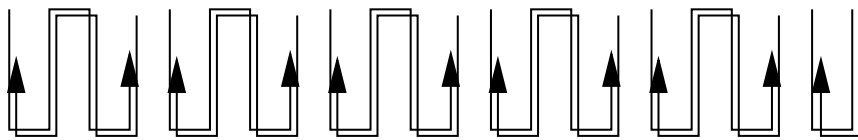
**Věta 15.** *Nechť  $z_1 > z_2$  a  $w = \sqrt{z_1 z_2}$ . Pak  $S = M(w, w)$  lze vnořit do  $R = M(z_1, z_2)$  s  $\text{dil} = \left\lceil \sqrt{z_1/z_2} \right\rceil$ ,  $\text{load} = 2$  a  $\text{ecng} = 1 + \left\lceil \sqrt{z_1/z_2} \right\rceil$ .*

**Důkaz.**

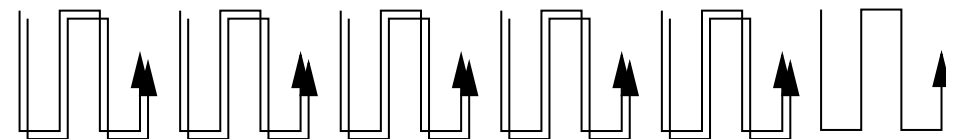


**Řešení s lepší expanzí**

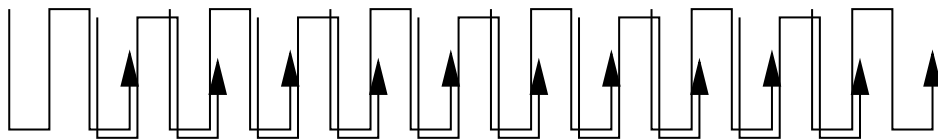
- (a) Vlož zrcadlo doprostřed  $R$ .
- (b) Použij stejné hady, ale zdvojuj je.
- (c) Použij stejné hady, ale částečně je překrývej.
- (d) Použij užší hady (= hady s  $\text{load}=2$  )



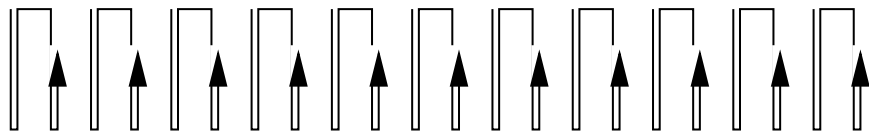
(a)



(b)



(c)



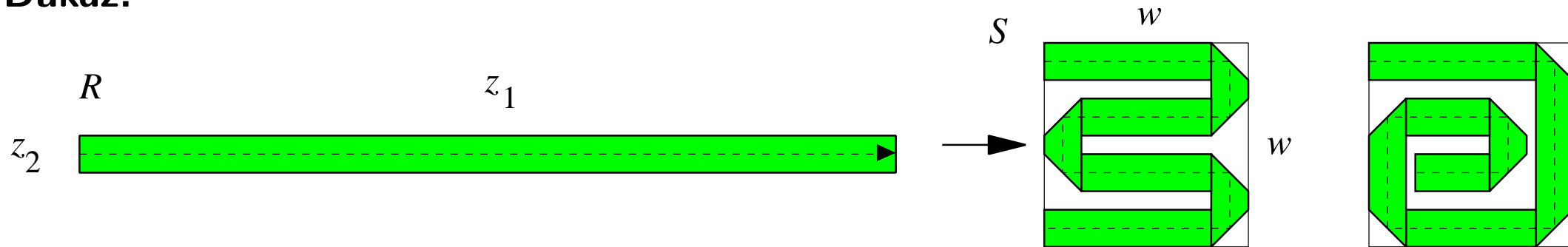
(d)



**Věta 16.** *Nechť  $z_1 > z_2$  a  $w = \sqrt{z_1 z_2}$ . Pak*

*$R = M(z_1, z_2)$  může být vnořena do  $S = M(w, w)$  s  $\text{dil} = 1$  a  $\text{load} = \text{ecng} = 2$ .*

**Důkaz.**

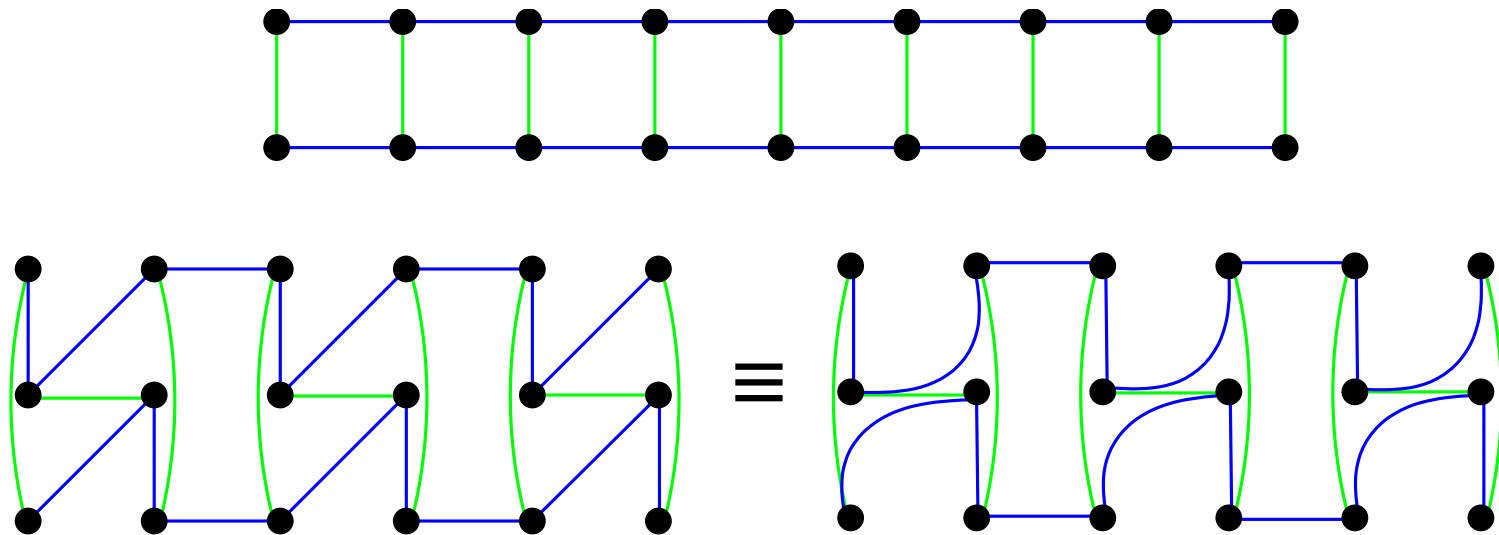


**Řešení s lepší expanzí**

Expanzi lze zlepšit (přiblížit ke spodní mezi  $1/2$ ) přehýbáním **rovných** částí vnořovaného hada.

**Věta 17.** Uvažujme  $M(a, b)$  a  $M(a', b')$  takové, že  $a' < a \leq b$  a  $b'$  je minimální celé číslo, pro které platí  $a'b' \geq ab$ . Pak

1. spodní meze na dilataci a hranové zahlcení jsou 2,
2. jestliže  $a/a' \leq 2$ , pak  $\exists$  vnoření  $M(a, b) \xrightarrow{\text{emb}} M(a', b')$  s  $\text{dil} \leq 2$ ,
3. jestliže  $a/a' \leq 3$ , pak  $\exists$  vnoření  $M(a, b) \xrightarrow{\text{emb}} M(a', b')$  s  $\text{dil} \leq 3$ .

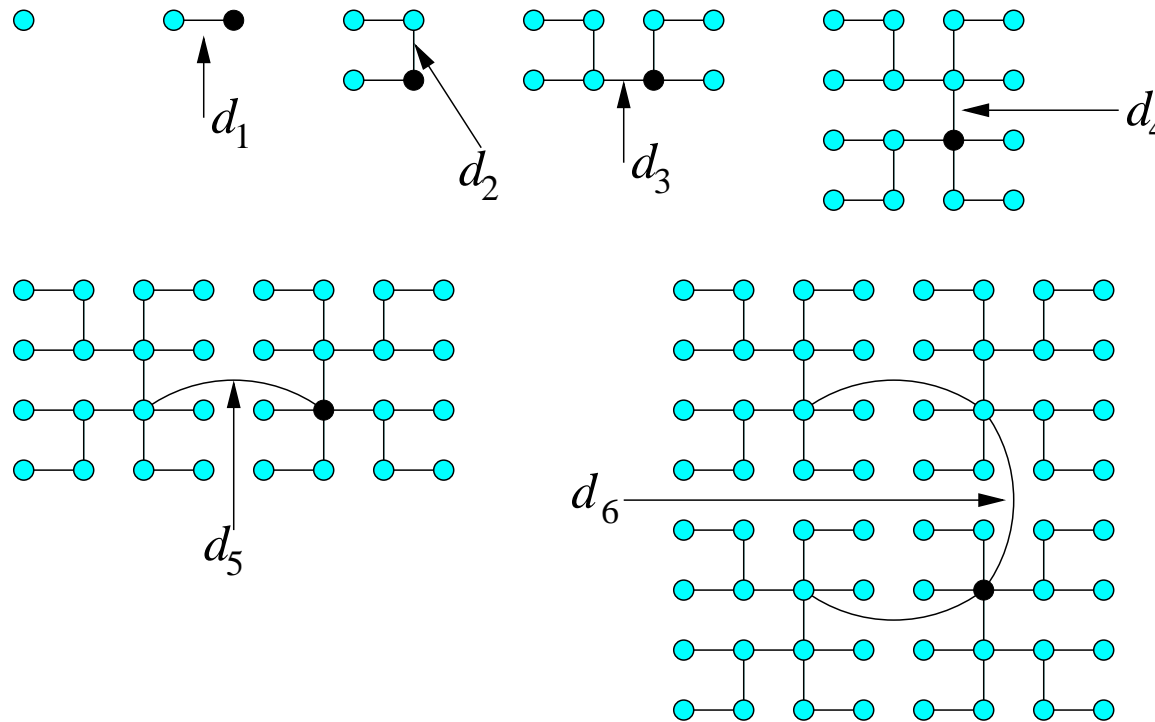


$$M(2, 9) \xrightarrow{\text{emb}} M(3, 6) \text{ s } \text{dil} = 2 \text{ a } \text{ecng} = 3.$$

**Důsledek 18.** (věty 4) Spodní mez na dilataci vnoření  $CBT_n \xrightarrow{\text{emb}} M(2^{\lfloor \frac{n+1}{2} \rfloor}, 2^{\lceil \frac{n+1}{2} \rceil})$  s  $\text{load} = 1$  je  $(2^{\lfloor \frac{n+1}{2} \rfloor} + 2^{\lceil \frac{n+1}{2} \rceil} - 2)/(2n)$ .

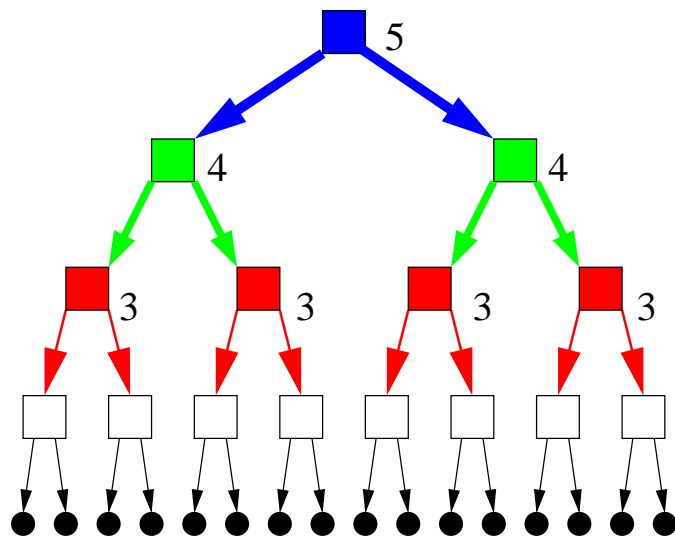
**Věta 19.** Jednovlnový  $n$ -úrovňový D&C výpočet lze simulovat na  $M(2^{\lfloor \frac{n}{2} \rfloor}, 2^{\lceil \frac{n}{2} \rceil})$  tak, že každý uzel mřížky simuluje 1 list stromu a dilatace vnoření je  $d_n = 1$  pro  $n \leq 4$  a

$$d_n = 2(2^k + 2^{k-2} + 2^{k-4} + \dots + 2^{k \bmod 2}) + 1, \quad \text{kde } k = \left\lfloor \frac{n-5}{2} \right\rfloor \quad \text{pro } n \geq 5. \quad \clubsuit$$

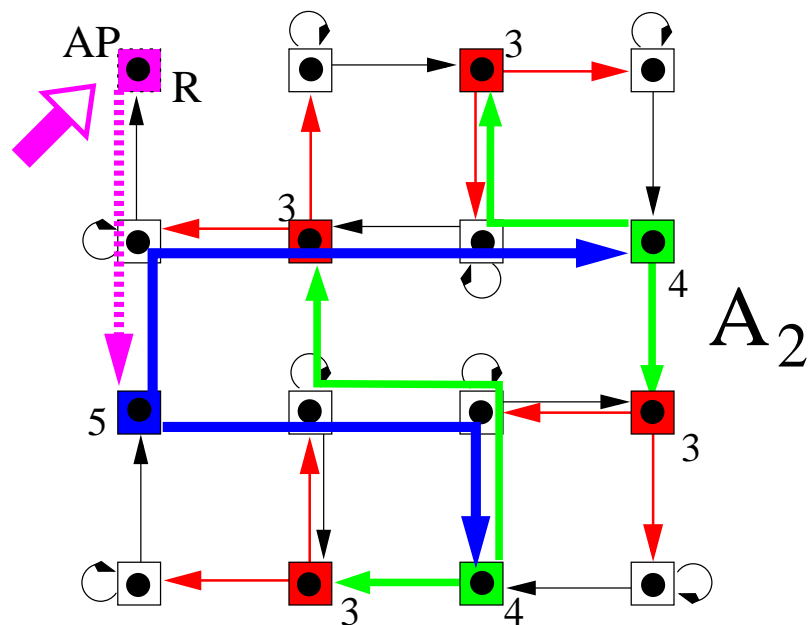


**Věta 20.**  $CBT_{2^m}$  může být vnořený do  $M(2^m, 2^m)$  s obousměrnými linkami tak, že

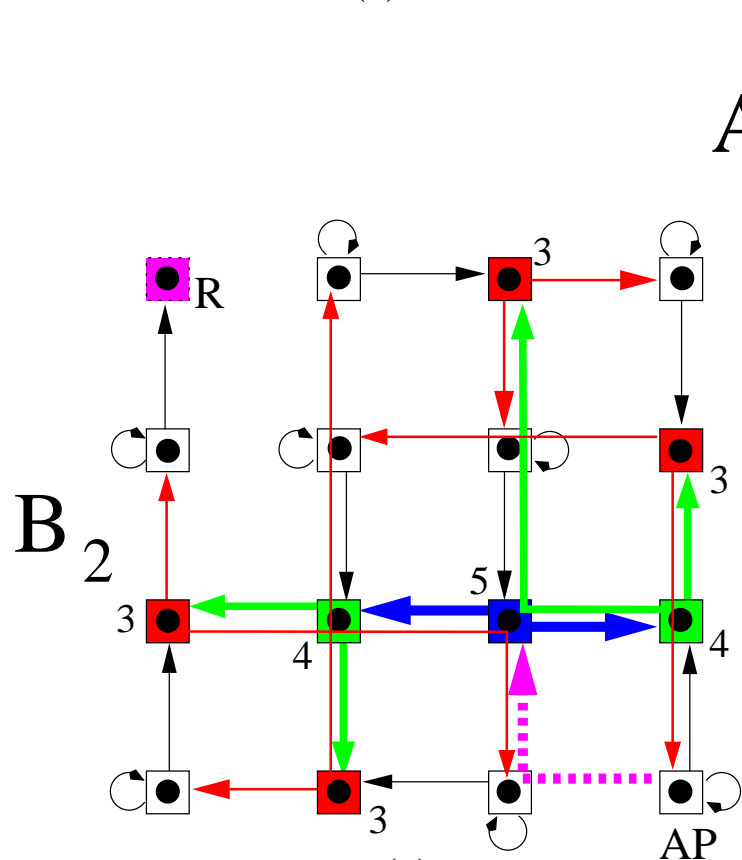
- $\text{load} = 2$ : každý uzel mřížky je zatížen
  - přesně jedním listem stromu a
  - (kromě jednoho) přesně jedním vnitřním uzlem stromu,
- různé hrany stromu jsou mapované na disjunktní cesty v mřížce,
- $\text{dil} = 2^m + O(m)$ .



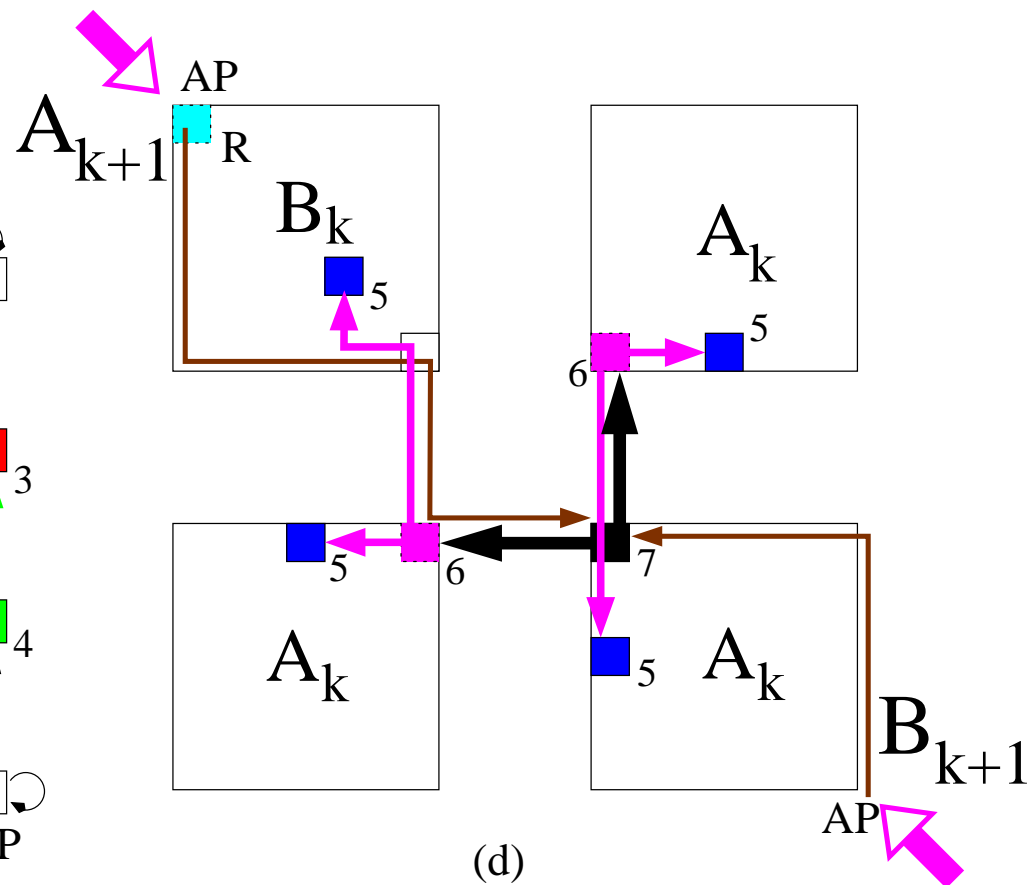
(a)



(b)



(c)

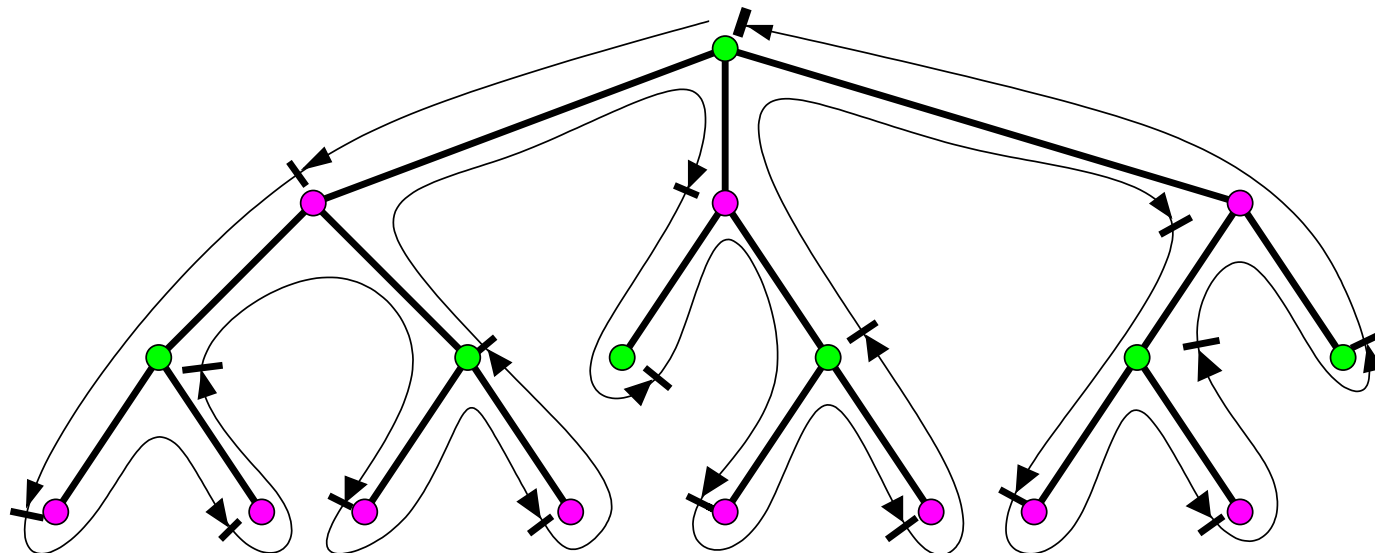


(d)

**Věta 21.**  $N$ -uzlová kružnice  $C$  může být vnořena do jakékoli  $N$ -uzlové sítě  $G$  s  $\text{load} = 1$ ,  $\text{dil} \leq 3$  a  $\text{ecng} = 2$ .

**Důkaz.**

1. Zkonstruuuj kostru  $T_G$  grafu  $G$ .
2. Rozděl její uzly na uzly **sudé úrovně** ( $V_0$ ) a **liché úrovně** ( $V_1$ ).
3. Procházej  $T_G$  **do hloubky zleva doprava (DFS)** a umísťuj postupně uzly  $C$  do  $T_G$   
 $\iff$ 
  - momentálně navštívený uzel je ve  $V_1$  a je to **první** návštěva tohoto uzlu,
  - momentálně navštívený uzel je ve  $V_0$  a je to **poslední** návštěva tohoto uzlu.

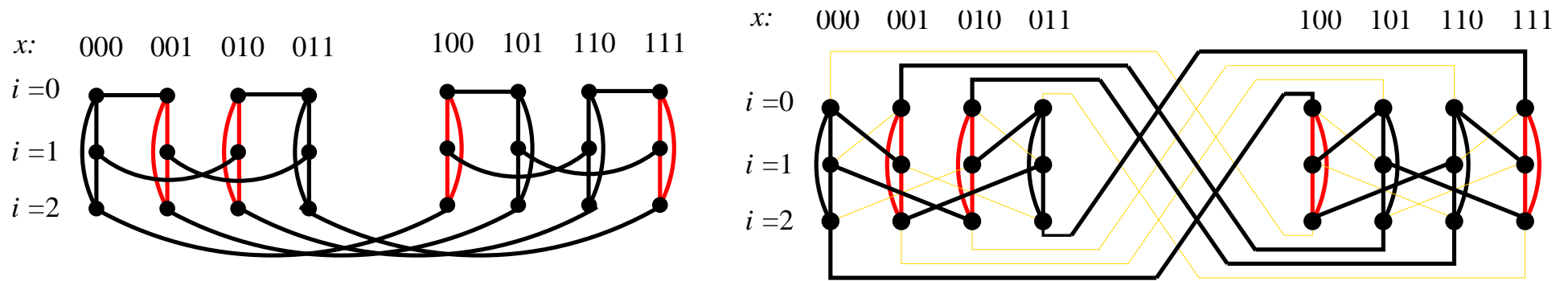


**Věta 22.**  $CCC$  a oba typy motýlků jsou výpočetně ekvivalentní.

**Důkaz.**

**(1)**  $CCC_n$  je faktorem  $wBF_n$ .

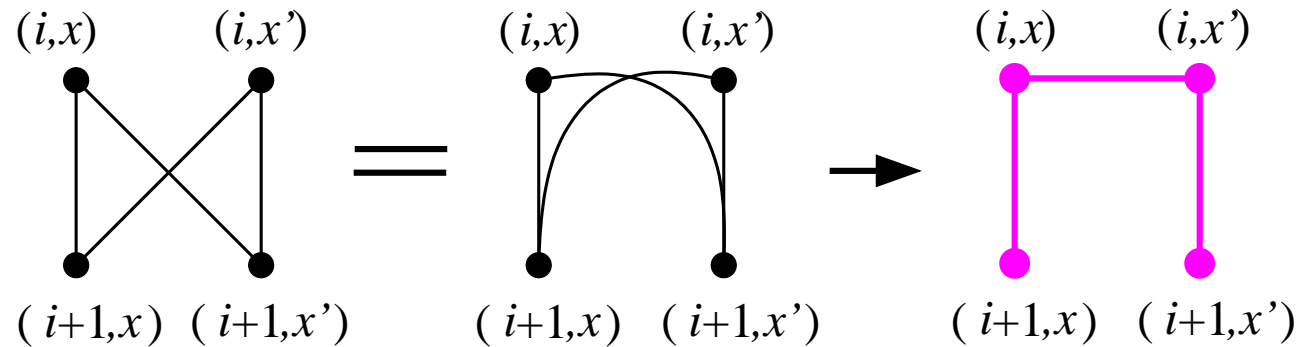
$\varphi : V(CCC_n) \rightarrow V(wBF_n)$  definovaný jako  $\varphi((i, x)) = (i \oplus_n \text{parity}(x), x)$ ,  
kde  $\text{parity}(x) = 1$ , jestliže  $x$  má lichou paritu, a  $\text{parity}(x) = 0$  jinak.



$CCC_3$  je faktorem  $wBF_3$ .

(2)  $wBF_n$  může být vnořen do  $CCC_n$  s  $\text{dil} = \text{ecng} = 2$ .

**identické** mapování uzlů: každý elementární  $2 \times 2$  motýlek  $\xrightarrow{\text{emb}}$  3-hranovou cestu v  $CCC$ .

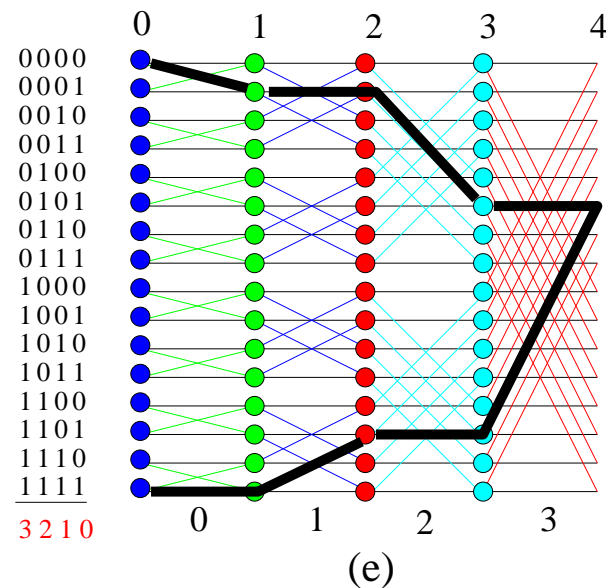
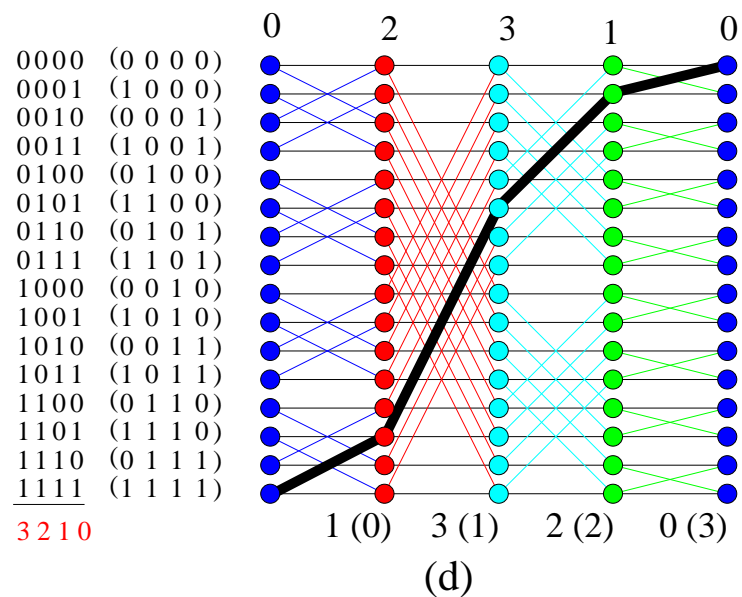
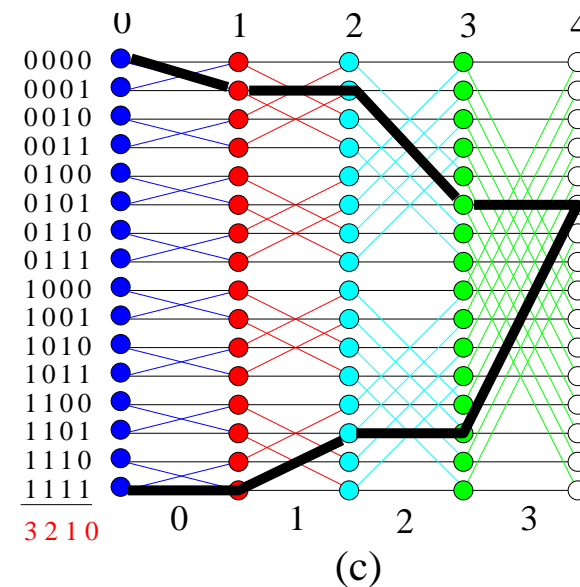
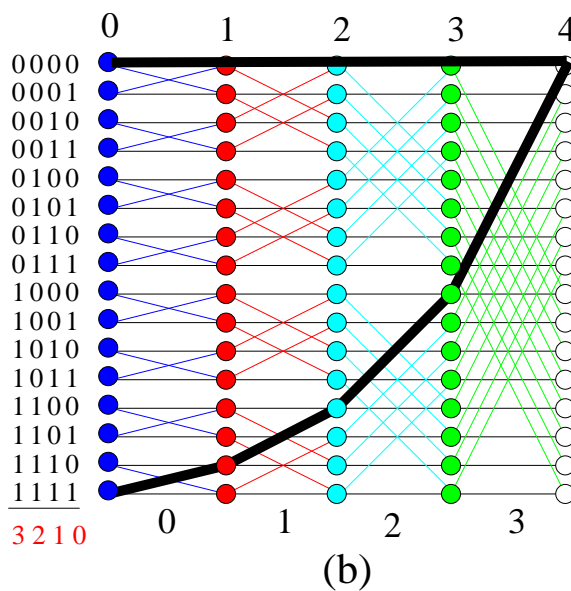
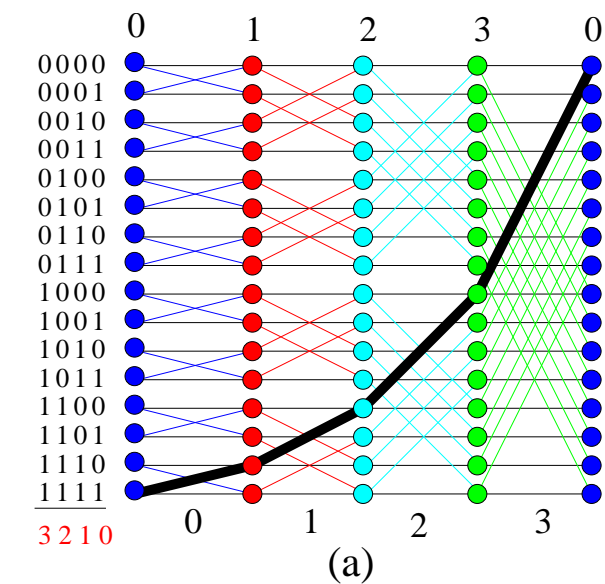


(3)  $oBF_n$  může být vnořen do  $wBF_n$  s  $\text{load} = 2$  a  $\text{dil} = 1$ .

sloučením koncových uzlů řad  $oBF_n$  dostaneme kružnice ve  $wBF_n$ .



(4)  $wBF_n$  může být vnořen do  $oBF_n$  s  $\text{dil} \leq 3$ .



Zobecnitelný komentář k předchozímu příkladu:

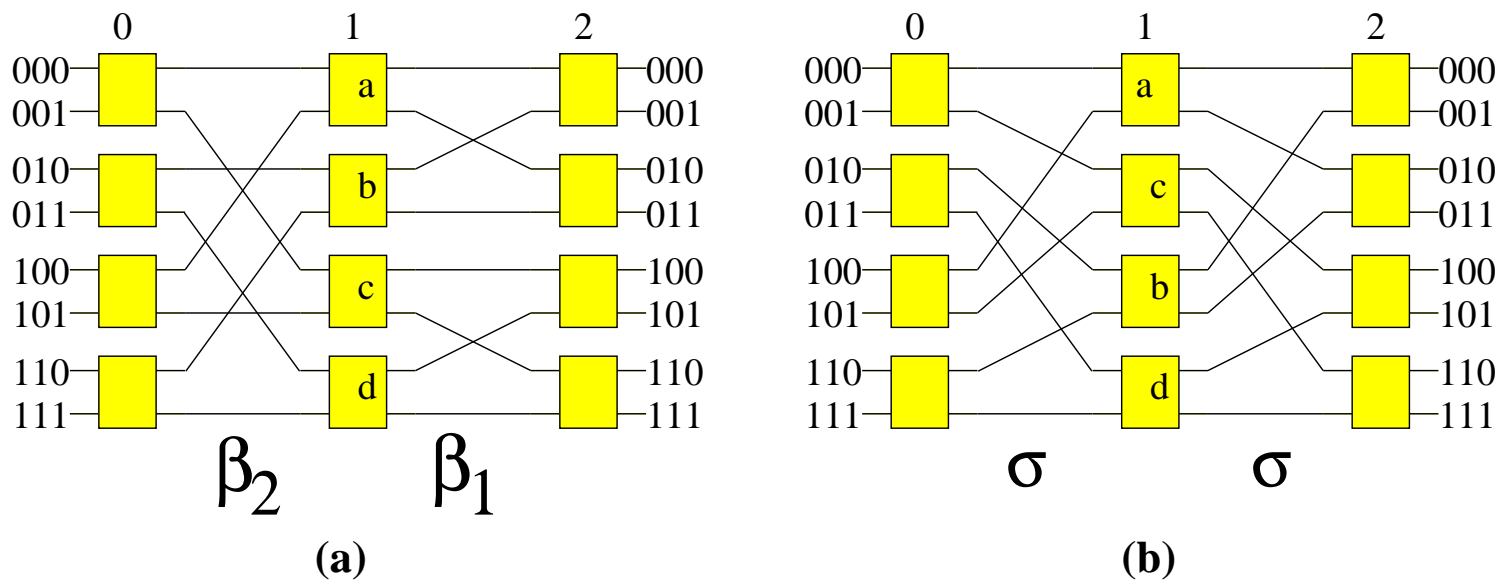
- (a) Cesta z uzlu  $u = (0, 1111)$  do  $v = (0, 0000)$  ve  $wBF_4$ , bity se invertují v pořadí 0, 1, 2, 3.
- (b) Cesta z uzlu  $u = (0, 1111)$  do  $v = (0, 0000)$  v  $oBF_4$ , bity se invertují v pořadí 0, 1, 2, 3, dilatace je  $n = \log N$  (!!!!).
- (c) Cesta z uzlu  $u = (0, 1111)$  do  $v = (0, 0000)$  v  $oBF_4$ , bity se invertují v pořadí 1, 3, 2, 0, dilatace je 3. Definujme permutaci bitů  $\pi : \{0, 1, 2, 3\} \rightarrow \{1, 3, 2, 0\}$ .
- (d) Permutace kružnic v  $wBF_4$  indukovaná  $\pi^{-1}$ , čili kružnice  $k$  se přemístí na pozici kružnice  $\pi^{-1}(k)$ . V závorkách jsou původní čísla řádků a dimenzí.
- (e) Vnoření takto permutované  $wBF_4$  do  $oBF_4$ , čili grafu (d) do grafu (c).

Opakování z minulé přednášky:

**Lemma 23.** *Delta síť stejného typu a počtu a velikosti stupňů jsou izomorfní.*

**Důkaz.** Všechny tyto sítě se liší pouze v pořadí, v jakém jsou bity adresy vystavovány inverzi, každý bit právě jednou. Ale i stejného pořadí lze dosáhnout různými způsoby.

**Příklad 24.** Izomorfismus MIN sítí motýlek (a) a Omega (b).



**Důsledek 25.** *Stačí se zabývat vlastnostmi sítě motýlek.*

**Definice 26.** *Hyperkubický algoritmus v  $Q_n$  je normální, jestliže*

- 1. v jakémkoli kroku algoritmu jsou použity pouze hrany jedné dimenze hyperkrychle*
- 2. a jestliže v po sobě jdoucích krocích jsou používány po sobě jdoucí dimenze.*

Třída normálních hyperkubických algoritmů zahrnuje mnoho důležitých algoritmů, např., **D&C!!!**, maticové výpočty, třídění, kolektivní komunikační algoritmy.

**Věta 27.**

- *$N$ -uzlová řídká hyperkubická síť může provést  $N$ -uzlový normální hyperkubický algoritmus s pouze konstantním zpomalením (technický důkaz).*
- *$N$ -uzlový motýlek může simulovat jakoukoli  $N$ -uzlovou síť s omezeným stupěm se zpomalením  $O(\log N)$  za předpokladu že je povoleno určité předzpracování (bude dokázáno v přednášce o permutacích).*

